

A lutillai ragpalában előforduló Bacillariák vagy Kovamoszatok leírása.

Közli Dr. Pantocsek József, a pozsonyi m. kir. állami kórház
igazgató-orvosa.

A lutillai ragpala fehéres színű, krétaszerű, rétegzett, könnyen hasadazható, könnyű fajsulyú közet, lelőhelyét Bars-megyében, Teschler körmöczbányai tanár fedezte fel és a közetet ipari célokra ki is aknászta.

A közetben előforduló Bacillariák legnagyobb része a dubravica i ragpalában — mely fizikai tulajdonságaira nézve is teljes hasonlatú a lutillai közzel — is előfordulnak, mely közet mikropaleontológiai vizsgálatát A. Grunow végezte, s melynek eredményét Beiträge zur Kenntnis der fossilen Diatomeen Österreich Ungarns című dolgozatában (*Moysisović*: Beiträge zur Paleontologie Österreich Ungarns, II, 4. 1882.) közé is tette.

A közet neogen kori, édes vizi rakodmány több határozottan sósvizi Bacillaria alakkal. — A lelőhely eredetileg tó volt, a viz hőfoka pedig állandóan 0 feletti volt, úgy hogy az soha be nem fagyhatott. Ezen állításomat a közetben előforduló *Melosira undulata* (E.) Kg. bizonyítja, mely faj csak meleg vizekben előfordul, mint azt: „a szliácsi finom andessittufa Bacillariai”, című dolgozatomban annak 4-ik lapján hangsúlyoztam.

A közetben 59 Bacillaria fajt és válfajt határoztam meg.

Használt irodalom.

- Cleve P. T. Synopsis of the Naviculoid Diatomes I—II. Stockholm 1894, 1895.
- Ehrenberg C. G. Mikrogeologie. Leipzig 1854.
- Grunow A. Beiträge zur Kenntnis der fossilen Diatomeen Österr. Ungarns. Wien 1882.
- Héribaud J. Les Diatomées fossiles d'Auvergne Clermont-Ferand 1902, 1903, 1908.
- Kützing F. T. Die kieselchaligen Bacillarien oder Diatomaceen Nordhausen 1844.
- Meister Fr. Die Kieselalgen der Schweiz. Bern 1912.
- Müller O. Rhopalodia ein neues Genus der Bacillarien. Leipzig 1895.
- Pantocsek J. Beiträge zur Kenntnis der fossilen Bacillarien Ungarn I—III. Nagy-Tapolcsány 1886 – 1892. Editio secunda II. Berlin 1903.
- Pantocsek J. A Balaton kovamoszatai, vagy Bacillariái. Budapest 1901.
- Pantocsek J. A szliácsi finom andesittuffa Bacillariái. Pozsony 1903.
- Pantocsek J. Új Bacillariák leírása. Pozsony 1905.
- Pantocsek J. A Fertő tó kovamoszat viránya. Pozsony 1912.
- Pantocsek J. A kopacseli andesittuffában előforduló kovamoszatok. Budapest 1913.
- Rabenhorst L. Flora europea Algarum. Lipsiae 1864.
- Schmidt A. Atlas der Diatomeenkunde Heft 1—73. Arschersleben. — Leipzig 1913.
- Smith W. Synopsis of the British Diatomacee I. II. London 1853—1856.
- Van Heurck H. Synopsis des Diatomées de Belgique-Anvers 1880—1885.

Leirő rész.

*Raphideae.**Naviculoidae.**Cymbella* Ag. 1830.

1. *Cymbella alpina* Grun.: Verh. Wien 1863, pg. 148, tab. 4, fig. 19; Meister Fr.: Schw. Kieselalgen, Bern 1912, pg. 189, tab. 32, fig. 9.

Long. 19·2 μ ; latit. 4·8 μ ; striis 11 in 10 μ .

Lutilla Praep. 7; Coord. $\frac{2}{1} \frac{6}{0} \frac{5}{1}$.

I. tábla 11. ábra $\frac{8}{1} \frac{6}{6}$.

Var. *notata* nov. var.

Centrum valvae ad ventrem unilateraliter poro solitario notatum.

Long. 19·2 μ ; latit. 4·8 μ ; striis 11 in 10 μ .

Lutilla Praep. 4, Coord. $\frac{2}{3} \frac{2}{1}$.

I. tábla 12. ábra $\frac{8}{1} \frac{6}{6}$.

2. *Cymbella aspera* (E.) Her. — Syn. *C. gastroides* Kg.

Long. 132 μ ; latit. 27·6 μ ; striis ad dorsum 8—9, ad ventrem 11—12 in 10 μ .

Lutilla Praep. 7, Coord. $\frac{2}{4} \frac{2}{6} \frac{8}{1}$.

I. tábla 3. ábra $\frac{7}{1} \frac{0}{0}$.

Var. *dubravicensis* Grun.: Beitr. pg. 141, tab. 29, fig. 30.

Long. 116·4 μ ; latit. 25·2 μ ; striis 6—8 in 10 μ .

Lutilla Praep. 7, Coord. $\frac{2}{3} \frac{5}{2}$.

I. tábla 4. ábra $\frac{7}{1} \frac{0}{0}$.

Var. *remotestriata* nov. var.

Valvis cymbiformibus 123·6 μ . longis, 24 μ . latis, robustis ad dorsum arcuatis, ad ventrem modice inflatis, cum polis obtusis rotundatis. — Striis radiantibus, ad medium cum longioribus brevioribusque intermixtis, remote dispositis, punctatis, ad dorsum 6—8, ad ventrem 6—7 in 10 μ .

Lutilla Praep. 10 Coord. $\frac{2}{3} \frac{5}{6}$.

I. tábla 5. ábra $\frac{7}{1} \frac{0}{0}$.

3. *Cymbella Clementis* Pant.: Beitr. III. pg. 41. tab. 20, fig. 303.

Long. 175·2 μ .; latit. 27·6 μ .; striis ad dorsum 8—10, ad ventrem 10—11 in 10 μ .

Lutilla Praep. 10, Coord. $\frac{2}{9} \frac{6}{5} \frac{2}{1}$.

I. tábla 1. ábra $\frac{6}{1} \frac{0}{0}$.

4. *Cymbella cymbiformis* E. var. *producta* Pant.: Beitr. pg. 41, tab. 23, fig. 346.

Long. 69·6 μ .; latit. 12 μ .; striis dorsalibus 8—10, ventralibus 10 in 10 μ .

Lutilla Praep. 7, Coord. $\frac{2}{5} \frac{5}{3} \frac{8}{1}$.

I. tábla 10. ábra $\frac{7}{1} \frac{0}{0}$.

5. *Cymbella inflexa* nov. spec.

Valvis cymbiformibus 66 μ . longis, 18 μ . latis, ad polos obtusis, cum dorso arcuato et ventre subplano. Striis punctatis 11—12 in 10 μ ., dorsalibus subradiantibus, ventralibus transversis parallelis. — Raphe directa, ad centrum hamuliforme, ad polos arcuato inflexa, ab area nuda cincta.

Lutilla Praep. 7, Coord. $\frac{2}{2} \frac{5}{3} \frac{8}{1}$.

I. tábla 6. ábra $\frac{7}{1} \frac{0}{0}$.

6. *Cymbella latestriata* Pant.: Beitr. pg. 43. tab. 1, fig. 9.

Long. 33·6—50·1 μ .; latit. 13·2—14·4 μ .; striis 7—8 in 10 μ .

Lutilla Praep. 7, Coord. $\frac{2}{3} \frac{4}{6} \frac{9}{1}$.

I. tábla 13 ábra $\frac{7}{1} \frac{0}{0}$.

7. *Cymbella Neupauerii* Pant.: Beitr. II. pg. 40, tab. 11 fig. 187.

Long. 32·4 μ .; latit. 8·4 μ .; striis 10 in 10 μ .

Lutilla Praep. 7, Coord. $\frac{2}{6} \frac{4}{5}$.

I. tábla 15. ábra $\frac{7}{1} \frac{0}{0}$.

8. *Cymbella obtusa* Pant.: Beitr. III. pg. 43, tab. 5. fig. 79.

Long. 14·4 μ .; latit. 6 μ .; striis dorsalibus 10, ventralibus 8 in 10 μ .

Lutilla Praep. 7, Coord. $\frac{2}{1} \frac{4}{9} \frac{1}{1}$.

I. tábla 8. ábra $\frac{7}{1} \frac{0}{0}$.

9. *Cymbella spectabilis* nov. spec.

Valvis assymetrica lanceolatis, 139·2 μ . longis, 25·2 μ . latis, cum dorso arcuato, ventre medio modice in flato, et polis obtusis, rotundatis. Striis punctatis ad dorsum 8—9 in

$10\ \mu$. subradianibus, ad ventrem 8—10 in $10\ \mu$. subtransversis. — Raphe arcuata, duplicata, ad polos dorsumversus inflexa, ab area longitudinali nuda dilatata cincta.

Lutilla Praep. 10, Coord. $\frac{26}{9}:\frac{1}{9}$.

I. tábla 2. ábra $\frac{7}{1}^0$.

10. *Cymbella Sturii* Grun.: Beitr. pg. 140, tab. 30, fig. 35.
Long. $233\ \mu$; latit. $36\cdot1\ \mu$; striis $10—11$ in $10\ \mu$.

Lutilla Praep. 10, Coord. $\frac{27}{8}:\frac{5}{2}$.

I. tábla 9. ábra $\frac{4}{1}^5$.

11. *Cymbella turgida* Greg. Micr. Journ. IV., pg. 5, tab. 1, fig. 18.

Long. $36\ \mu$; latit. $9\cdot6\ \mu$; striis dorsalibus $10—13$, — ventralibus $11—14$ in $10\ \mu$.

Lutilla Praep. 7, Coord. $\frac{25}{8}:\frac{6}{8}$.

I. tábla 7. ábra $\frac{7}{1}^0$.

12. *Cymbella ventricosa* nov. spec.

Valvis cymbiformibus $49\cdot2\ \mu$ longis, $13\cdot2\ \mu$. latis dorso arcuatis, ad ventrem inflatis, gibbosis, cum polis obtusis. Rapha ad polos arcuato inflexa, ab area longitudinali nuda cincta Striis punctatis, abbreviatis, transversis, parallelis, ad dorsum $8—10$, ad ventrem $10—11$ in $12\ \mu$.

Lutilla Praep. 4, Coord. $\frac{2}{4}^0$.

I. tábla 14. ábra $\frac{7}{1}^0$.

Stauroneis E. 1843.

13. *Stauroneis Phoenicenteron* E.: America tab. II. 5. fig. 1, etc.

Long. $132\ \mu$; latit. $26\cdot4\ \mu$; striis 15 in $10\ \mu$; latit. stauri $6\ \mu$.

Lutilla Praep. 7, Coord. $\frac{36}{4}:\frac{1}{5}$.

I. tábla 17. ábra $\frac{7}{1}^0$.

Pinnularia E. 1843.

14. *Pinnularia major* Kg. var. *andesitica* Pant.: Beitr. III., pg. 73, tab. 7, fig. 113.

Long. $166\cdot8\ \mu$; latit. $24\ \mu$; striis $7—8$ in $10\ \mu$.

Lutilla Praep. 10, Coord. $\frac{23}{5}:\frac{2}{4}$.

I. tábla 18. ábra $\frac{7}{1}^4$.

Var. *abreviata* nov. var.

Valvis validioribus, brevioribusque 150 μ . longis, 24 μ . lat. medio modice inflatis, ad polos obtusis. Striis abreviatis 6 in 10 μ ., distantioribus. Raphe duplex, directa, ad polos inflexa, ab area longitudinali medio inflata, ad polos rotundata dilatata cincta.

Lutilla Praep. 10, Coord. $\frac{21}{6} \cdot 1$.

I. tábla 20. ábra $\frac{7}{1} \cdot 0$.

15. *Pinnularia subsolaris* (Grun.) Cleve: Synops. II. pg. 84.

Long. 112·8 μ ; latit. 16·8 μ ; striis 8—10 in 10 μ .

Lutilla Praep. 7, Coord. $\frac{24}{4} \cdot 3$.

I. tábla 21. ábra $\frac{7}{1} \cdot 0$.

16. *Pinnularia viridis* E. var. *producta* nov. var.

Valvis linearibus 72 μ . longis 13·2 μ . latis, cum polis modice productis, obtusis. Raphe directa medio inflata. Striis 8—10 in 10 μ ., radiantibus, ad polos adscendentibus.

Lutilla Praep. 7, Coord. $\frac{23}{7} \cdot 8$.

I. tábla 26. ábra $\frac{7}{1} \cdot 0$.

17. *Pinnularia oblonga* W. Sm. var. *directa* Pant.: Balat. pg. 41, tab. 4, fig. 77.

Long. 118·8 μ ; latit. 18 μ ; striis nudis! 6—10 in 10 μ .

Lutilla Praep. 4, Coord. $\frac{24}{6} \cdot 1$.

I. tábla 23. ábra.

17. *Pinnularia pygmaea* E.: Microgeol. tab. X₋₁, fig. 9. Syn. *Navicula hungarica* Grun.: Verh. 1860, pg. 539, tab. 3, fig. 30.

Long. 26·4 μ ; latit. 4·8 μ ; striis 10 in 10 μ .

Lutilla Praep. 4, Coord. $\frac{2}{8} \cdot 2$.

I. tábla 38. ábra.

Navicula Bory 1822.a) *Radiosae.*

19. *Navicula ammophila* Grun.: Beitr. pg. 149, tab. 30, fig. 66—70.

Long. 30 μ ; latit. 6 μ ; striis 13 in 10 μ .

Lutilla Praep. 7, Coord. $\frac{27}{7} \cdot 5$.

I. tábla 32. ábra $\frac{8}{1} \cdot 6$.

Var. *latior* nov. var.

Valvis latioribus $25\cdot2$ μ . longis, $7\cdot2$ μ . latis. Striis 10 in $10\ \mu$. distantioribus.

Lutilla Praep. 4, Coord. $\frac{18}{7}\frac{8}{8}$.

I. tábla 33. ábra $\frac{8}{1}\frac{6}{6}$.

20. *Navicula dubravicensis* Grun.: Beitrag. pg. 144, tab. 30, fig. 49.

Long. $84\ \mu$; latit. $10\cdot8\ \mu$; striis 11—12 in $10\ \mu$, punctatis punctis 25 in $10\ \mu$.

Lutilla Praep. 7, Coord. $\frac{22}{10}\frac{1}{3}$.

I. tábla 34. ábra $\frac{7}{1}\frac{0}{0}$.

21. *Navicula Haueri* Grun.: Beitrag. pg. 143, tab. 30, fig. 48.

Long. $122\cdot4\ \mu$; latit. $18\ \mu$; striis 6—7 in $10\ \mu$.

Lutilla Praep. 7, Coord. $\frac{21}{4}\frac{9}{8}$.

I. tábla 24. ábra $\frac{7}{1}\frac{0}{0}$.

22. *Navicula tenella* Brèb. in Kg.: Spec. alg. pg. 74.

Long. $36\ \mu$; latit. $6\ \mu$; striis 13 in $10\ \mu$.

Lutilla Praep. 7, Coord. $\frac{21}{9}\frac{9}{3}$.

I. tábla 16. ábra $\frac{7}{1}\frac{0}{0}$.

23. *Navicula vulpina* Kg.: Bac. pg. 92, tab. 3, fig. 43.

Long. $81\cdot6\ \mu$; latit. $14\cdot4\ \mu$; striis 10—11 in $10\ \mu$.

Lutilla Praep. 7, Coord. $\frac{2}{4}\frac{2}{1}$.

I. tábla 28. ábra $\frac{7}{1}\frac{0}{0}$.

$\beta)$ Aratae.

24. *Navicula arata* Grun.: Beitrag. pg. 145, tab. 30, fig. 58.

Long. $79\cdot2\ \mu$; latit. $24\ \mu$; striis 8—10 in $10\ \mu$.

Lutilla Praep. 7, Coord. $\frac{23}{8}\frac{3}{2}$.

I. tábla 27. ábra $\frac{7}{1}\frac{0}{0}$.

Nodosae.

25. *Navicula lacunarum* Grun. var. *notata* nov. var.

Valvis linearibus $51\cdot6\ \mu$. longis, $8\cdot4\ \mu$. latis, fasciatis Fascia transversa $2\cdot4\ \mu$. lata ad porum centralem bilateraliter striolis abbreviatis lineas duas longitudinales constituentes notata.

Lutilla Praep. 7, Coord. $\frac{2}{6}\frac{1}{2}$.

I. tábla 22. ábra $\frac{7}{1}\frac{0}{0}$.

26. *Navicula neogena* Pant.: Beitr. III. pg. 75. tab. 17, fig. 252.

Long. 61·2 μ ; latit. 10·8 μ ; striis 16 in 10 μ ; latit. stauri transversi 3·6 μ .

Lutilla Praep. 7, Coord. $\frac{25}{6} \cdot \frac{3}{5}$.

I. tábla 25. ábra $\frac{700}{1}$.

Bacillae.

27. *Navicula pseudobacillum* Grun.: — V. H. Synops. pg. 106, tab. 13, fig. 9.

Long. 34·8 μ ; latit. 20·4 μ ; striis 13 in 10 μ .

Lutilla Praep. 7, Coord. $\frac{27}{4} \cdot \frac{5}{2}$.

I. tábla 37. ábra $\frac{700}{1}$.

Minutissimae.

28. *Navicula Roteana* (Rab.) Grun. var. *staurofora* nov. var.

Valvis diminutis elongato ellipticis, 24 μ . longis, 7·2 μ . latis. Striis radiantibus punctatis 18 in 10 μ . ad medium valvae stauro 3 μ . lato, totam valvam, transverse percurrente interruptis. Raphe directa.

Lutilla Praep. 7, Coord. $\frac{19}{5} \cdot \frac{1}{1}$.

I. tábla 19. ábra $\frac{866}{1}$.

Diploneis E. 1840.

29. *Diploneis elliptica* (Kg.) Cleve var. *minor* Grun.: Beitr. pg. 145, sub *Navicula*.

Long. 27·6—33·6 μ ; latit. 14·4—18 μ ; striis grosse punctatis 8—10 in 10 μ ; punctis 12—13 in 10 μ .

Lutilla Praep. 7, Coord. $\frac{25}{9} \cdot \frac{6}{8}$.

I. tábla 29. ábra $\frac{700}{1}$.

30. *Diploneis carpathorum* Pant. sub *Navicula*: Beitr. III. pg. 65, tab. 17, fig. 246; — Syn. *Navicula elliptica* var. *grandis* Grun.: Beitr. pg. 145.

Long. 108 μ ; latit. 43·2 μ ; striis punctatis 10 et punctis 10 in 10 μ .

Lutilla Praep. 7, Coord. $\frac{26}{8} \cdot \frac{3}{1}$.

I. tábla 35. ábra $\frac{700}{1}$.

Frustulia Ag. 1824.

31. *Frustulia rhomboides* (E) Cleve var. *amphipleuroides* Grun.: Clev.-Grun. arctische Diatom. pg. 47, tab. 3, fig. 59.

Long. 85·2 μ ; latit. 14·4 μ ; striis transversis 25, longitudinalibus 20 in 10 μ .

Lutilla Praep. 4, Coord. $\frac{25}{3} \cdot \frac{8}{3}$.

I. tábla 36. ábra $\frac{3}{1} \cdot \frac{6}{6}$.

*Gomphonemaeae.**Gomphonema* Ag. 1824.

32. *Gomphonema dubravicensis* Pant.: Beitr. III. pg. 54, tab. 20, fig. 294, 296; — A. Schm.; Atlas tab. 16, fig. 24, 25 etc.

Long. 60—88·8 μ ; latit. 6—13·2 μ ; striis punctatis 8—10 in 10 μ .

Lutilla Praep. 7, Coord. $\frac{22}{3} \cdot \frac{1}{1}$.

I. tábla 39. ábra $\frac{7}{1} \cdot \frac{9}{9}$, II. tábla 57, 58. ábra $\frac{7}{1} \cdot \frac{9}{9}$.

33. *Gomphonema intricatum* Kg. var. *fossilis* Pant.: Beitr. II, pg. 56 tab. 11, fig. 201.

Long. 31—36 μ ; latit. 6 μ ; striis 11 in 10 μ .

Lutilla Praep. 7, Coord. $\frac{26}{6} \cdot \frac{2}{1}$.

II. tábla 59, 60. ábra $\frac{8}{1} \cdot \frac{6}{6}$.

34. *Gomphonema pinnatum* nov. spec.

Frustulis elongatis, sub cuneatis, 27·6 μ . longis, 6 μ . latis, ad polos modice productis, obtusis. Striae validae transversae 10 in 10 μ . Centrum valvae unilateraliter poro solitario notatum.

Lutilla Praep. 4, Coord. $\frac{22}{5} \cdot \frac{2}{1}$.

II. tábla 61. ábra $\frac{8}{1} \cdot \frac{6}{6}$.

35. *Gomphonema subclavatum* Grun.: V. H. Synops. pg. 125, tab. 23, fig. 39—43.

Long. 20·4—30 μ ; latit. 6—7·2 μ ; striis 11—13 in 10 μ .

Lutilla Praep. 4, Coord. $\frac{21}{5} \cdot \frac{8}{3}$.

II. tábla 64. ábra $\frac{8}{1} \cdot \frac{6}{6}$.

Var. *staurophora* nov. var.

Valvis cuneatis 20·4 μ . longis, 6 μ . latis, striolatis; striis transversis punctatis parallelis 13 in 10 μ , ad medium valvae stauro nudo unilateraliter interruptis.

Lutilla Praep. 4, Coord. $\frac{2}{5} \frac{1}{5} : \frac{8}{5}$.

II. tábla 63. ábra $\frac{8}{1} \frac{6}{1}$.

Achnanthideae.

Achnanthidium (Kg.) Grun. 1880.

36. *Achnanthidium lanceolatum* (Brèb.) Cleve var. *elliptica*

Cleve: Diat of Finland pg. 51, tab. 3, fig. 10—11.

Long. 19·2 μ ; latit. 9·6 μ ; striis 13 in 10 μ .

Lutilla Praep. 7, Coord. $\frac{2}{5} \frac{5}{8}$.

I. tábla 30, 31. ábra $\frac{7}{1} \frac{9}{1}$.

Cocconeideae.

Cocconeis (E.) Grun. 1868.

37. *Cocconeis balatonis* Pant.: Balat. pg. 82, tab. 7, fig. 183.

Long. 18 μ ; latit. 10·8 μ ; poris in lineas arcuatas et longitudinales dispositis 11 in 10 μ .

Lutilla Praep. 7, Coord. $\frac{2}{5} \frac{4}{5}$.

II. tábla 42. ábra $\frac{7}{1} \frac{9}{1}$.

38. *Cocconeis boryana* Pant.: Beitr. III., pg 31, tab. 2, fig. 33.

Long. 20·4 μ ; latit. 12 μ ; striis 15 in 10 μ .

Lutilla Praep. 7, Coord. $\frac{2}{4} \frac{6}{5}$.

II. tábla 43. ábra $\frac{8}{1} \frac{6}{1}$.

39. *Cocconeis californica* Grun. var. *hungarica* Pant.: Beitr. pg. 31, tab. 10, fig. 164.

Long. 18 μ ; latit. 10·8 μ ; striis punctatis 13 in 10 μ ; margo 1·2 μ . latus.

Lutilla Praep. 7, Coord. $\frac{2}{3} \frac{3}{2} : \frac{8}{3}$.

II. tábla 44. ábra $\frac{7}{1} \frac{9}{1}$.

Pseudoraphideae.

Epithemiaeae.

Epithemia Brèb. 1838.

40. *Epithemia Cistula* (E.) Grun. var. *lunaris* Grun.: Beitr. pg. 137, tab. 29, fig. 1, 2.

Long. 69·6 μ ; altit. 14·4 μ ; cortis 3, striis 10 in 10 μ .

Lutilla Praep. 2, Coord. $\frac{2}{4} \frac{2}{3} : \frac{9}{3}$.

II. tábla 56. ábra $\frac{7}{1}^{\text{0}}\text{0}$.

Var. *producta* nov. var.

Valvis parum arcuatis, melius prolongatis 122·4 μ . longis, 18 μ . altis; costis 2, striis punctatis 11—13 in 10 μ .

Lutilla Praep. 7, Coord. $\frac{2}{8}\frac{4}{1}\cdot\frac{1}{1}$.

II. tábla 55. ábra $\frac{7}{1}^{\text{0}}\text{0}$.

Eunotia E. 1837.

41. *Eunotia Arcus* E.: Jnfus. pg. 191, tab. 21, fig. 22.

Long. 110·8 μ ; latit. 6 μ ; striis 10 in 10 μ .

Lutilla Praep. 7, Coord. $\frac{2}{3}\frac{5}{1}\cdot\frac{9}{1}$.

II. tábla 41. ábra $\frac{7}{1}^{\text{0}}\text{0}$.

42. *Eunotia fossilis* nov. spec.

Frustulis concatenatis, 66 μ . longis, 3·6—4·8 latis. Valvis elongatis striolatis, striis 16 in 10 μ .

Lutilla Praep. 7, Coord. $\frac{2}{9}\frac{5}{7}\cdot\frac{9}{7}$.

II. tábla 46. ábra $\frac{7}{1}^{\text{0}}\text{0}$.

Fragilariaeae

Synedra E. 1831.

43. *Synedra lanceolata* Kg. var. *abreviata* nov. var.

Valvis lineare lanceolatis, 81·6 μ . longis, 9·6 μ . latis, cum polis productis subcapitatis, striatis; striis 8 in 10 μ , medio semistauro 10 μ . lato, unilateraliter interruptis.

Lutilla Praep. 7, Coord. $\frac{2}{4}\frac{2}{8}\cdot\frac{8}{8}$.

II. tábla 47. ábra $\frac{7}{1}^{\text{0}}\text{0}$.

44. *Synedra Ulna* E. var. *crassa* nov. var.

Valvis linearibus 121·2 μ . longis, 7·2 μ . latis, apicibus subcapitatis, striatis; striis medio valvae stanco 7·2 μ . lato interruptis 7—8 in 10 μ .

Lutilla Praep. 7, Coord. $\frac{2}{4}\frac{7}{5}\cdot\frac{9}{8}$.

II. tábla 48. ábra $\frac{7}{1}^{\text{0}}\text{0}$.

Fragilaria Lyngb. 1819.

45. *Fragilaria Harrisonii* (W. Sm.) Grun. var. *ovalis* nov. var.

Valvis ovalibus diminutis 7·2 μ . longis, 6 μ . latis, cum costis nudis validis abbreviatis 3—4 in 10 μ .

Lutilla Praep. 7, Coord. $\frac{24}{6} \cdot \frac{9}{3}$.

II. tábla 74. ábra.

Var. *lanceolata* nov. var.

Valvis lanceolatis 13·1—13·2 μ . longis, 7·2—8·4 μ . latis polis obtusis. Costis marginalibus nudis validis 6 in 10 μ . Pseudoraphe ad formam areae longitudinali nudae notata.

Lutilla Praep. 7, Coord. $\frac{22}{7} \cdot \frac{9}{1}$.

II. tábla 72, 73. ábra $\frac{700}{1}$.

Var. *fossilis* Pant.: Uj Bacill. leirása, pg. 53, tab. 2, fig. 22.

Long. 27·6—39·6 μ ; latit. 16·8—25·2 μ ; costis validis nudis subradiantibus 5—6 in 10 μ .

Lutilla Praep. 4, Coord. $\frac{20}{7} \cdot \frac{5}{2}$.

II. tábla 70, 71. ábra $\frac{700}{1}$.

Var. *amphitetras* Grun.: Beitr. pg. 139, tab. 29, fig. 18.

Long. 34·6—46·8 μ ; latit. 33·8—44·4 μ ; costis validis nudis transversis, parallelis 5—6 in 10 μ .

Lutilla Praep. 2, Coord. $\frac{24}{6} \cdot \frac{2}{5}$.

II. tábla 50, 53. ábra $\frac{700}{1}$.

46. *Fragilaria pinnata* E. var. *ovalis* nov. var.

Frustulis linearibus concatenatis. Valvis ovalibus diminutis 13·2—24 μ . longis, 4·2—4·8 μ . latis; striis abbreviatis, marginalibus 11—13 in 10 μ .

Lutilla Praep. 7, Coord. $\frac{26}{9} \cdot \frac{2}{2}$.

II. tábla 66, 67. ábra $\frac{866}{1}$.

Var. *linearis* nov. var.

Frustulis concatenatis, valvis elongato ellipticis 20·4 μ . longis, 3·6 μ . latis, striis marginalibus abbreviatis, transversis, parallelis 13 in 10 μ .

Lutilla Praep. 2, Coord. $\frac{18}{5} \cdot \frac{8}{8}$.

II. tábla 65, 68. ábra $\frac{700}{1}$.

47. *Fragilaria Venter* (E.) Grun.: Beitr. pg. 139, tab. 29, fig. 10—12.

Long. 10·8 μ ; latit. 6 μ ; striis 16 in 10 μ .

Lutilla Praep. 7, Coord. $\frac{24}{8} \cdot \frac{8}{8}$.

II. tábla 62. ábra $\frac{700}{1}$.

48. *Fragilaria Clevei* Pant. var. *linearis* nov. var.

Valvis linearibus lanceolatis 19·4 μ . longis, 4·8 μ . latis, cum polis productis, subrostratis. Costis validis 10 in 10 μ ., abbreviatis, transversis, parallelis nudis.

Lutilla, Praep. 4, Coord. $\frac{2}{5} \frac{1}{1}$.

II. tábla 77. ábra $\frac{8}{1} \frac{6}{6}$.

Nitzschiaeae.

Hantzschia Grun. 1870.

49. *Hantzschia dubravicensis* Grun.: Beitr. pg. 140, tab. 29, fig. 23.

Long. 38·4 μ ; latit. 7·2 μ ; poris carinalibus 6—8, striis 16 in 10 μ .

Lutilla Praep. 7, Coord. $\frac{2}{8} \frac{0}{9} \frac{3}{1}$.

II. tábla 75. ábra $\frac{8}{1} \frac{6}{6}$.

Nitzschia (Hass.) Grun. 1877.

50. *Nitzschia acutiuscula* Grun.: in V. H. Synop. tab. 68, fig. 19.

Long. 42 μ ; latit. 7·2 μ ; poris carinalibus 8, striis 15 in 10 μ .

Lutilla Praep. 7, Coord. $\frac{2}{7} \frac{4}{2} \frac{1}{1}$.

II. tábla 76. ábra $\frac{7}{1} \frac{0}{0}$.

Surirelloideae.

Surirella Turp. 1827.

51. *Surirella Clementis* Grun.: Beitr. pg. 140, tab. 29, fig. 19.

A latere visa 200 μ . longa, 12 μ . alta, costae 2—3 in 10 μ .

Lutilla Praep. 10, Coord. $\frac{2}{2} \frac{4}{1}$.

II. tábla 40. ábra $\frac{4}{1} \frac{5}{2}$.

52. *Surirella gracilis* Grun.: Verh. 1862, pg. 450, tab. 10, fig. 11.

Long. 154·8 μ ; latit. ad polos 28·8 μ ; ad constrictionem 26·4 μ ; costis 3 in 10 μ ; striis 16 in 10 μ .

Lutilla Praep. 2, Coord. $\frac{2}{7} \frac{4}{8} \frac{1}{1}$.

II. tábla 49. ábra $\frac{7}{1} \frac{0}{0}$.

53. *Surirella saxonica* Auersw.: Rhb. Flor. Alg. I., pg. 53.
 Long. 156 μ .; latit. 45·6 μ .; costis 1—2 in 10 μ .
 Lutilla Praep. 10, Coord. $\frac{3}{3}\frac{4}{5}$.
 II. tábla 70. ábra $\frac{7}{1}0$.

Centricae.

Melosiraceae.

Melosira Ag. 1824.

54. *Melosira arenaria* Moor. var. *hungarica* Pant.: Beitr. III., pg. 59, tab. 39, fig. 546.

Recedit a specie per centrum disci semper nudum. Diametrum valvae 46·8—55·2 μ .; alitudo valvae 10·4 μ .; poris in latere connectivali sitis 6 in 10 μ .; striis decun atis 16 in 10 μ .

Lutilla Praep. 7, Coord. $\frac{2}{1}\frac{5}{6}\frac{5}{2}$.

II. tábla 45, 52. ábra $\frac{7}{1}0$.

Var. *vestita* nov. var.

Discus cum radiis marginalibus abbreviatis 10 in 10 μ .; cinctus, ad peripheriam areae nuda 34·8 μ . latae, anulo striolarum descusatarum cinctus. Diametr. valvae 46·8 μ .

Lutilla Praep. 7, Coord. $\frac{2}{1}\frac{4}{7}\frac{1}{1}$.

II. tábla 51. ábra $\frac{7}{1}0$.

55. *Melosira granulata* (E.) Ralf., var. *jeremiae* Grun. in V. H. Synops. tab. 88, fig. 17.

Long. 13·4—16·4 μ .; latit. 4·8—6 μ ., punctis 11—12 in 10 μ .; diametr. disci 5·4 μ .

Lutilla Praep. 2 Coord. $\frac{2}{7}\frac{1}{7}\frac{9}{9}$.

II. tábla 78, 81. ábra $\frac{7}{1}0$.

56. *Melosira hokaidoana* Pant.: Beitr. III., pg. 61, tab. 6, fig. 91.

Altitud. 12 μ ., latitud. 10·8 μ ., striis subtiliter punctatis 16 in 10 μ .

Lutilla Praep. 7, Coord. $\frac{2}{4}\frac{2}{5}\frac{8}{8}$.

II. tábla 80. ábra $\frac{7}{1}0$.

57. *Melosira undulata* (E.) Kg.: Bacil. pg. 51, tab. 2, fig. 9; — Synon. *Gallionella undulata* E.: Bericht. 1840, pg. 211; — Mirogeol. tab. 12, fig. 9 etc.

A lutillai ragpalában előforduló Bacillariák leirása.

33

Altitud. valvae 26·4 μ ., latit. 26·4 μ ., striis punctatis
16 in 10 μ .

Lutilla Praep. 7, Coord. $\frac{25}{6}, \frac{9}{6}$.

II. tábla 54. ábra $\frac{70}{1}$.

Carnegia Pant. 1912.

58. *Carnegia mirabilis* Pant.: Fertő, pg. 42, tab. IV,
fig. 178—181.

Diametr. valvae 8·8 μ . latit. marginis 1·2 μ .

Lutilla Praep. 7, Coord. $\frac{24}{8}, \frac{4}{6}$.

II. tábla 79. ábra $\frac{70}{1}$.

Echinopysis Pant. 1913.

59. *Echinopysis globula* nov. spec.

Valvis circularibus marginatis, unipolariter collo 1·3 μ .
alto, 3 μ . lato vestitis, spinulosis, spinulis disseminatis. Diame-
trum valvae 13·2 μ ; margo 1·8 μ . latus.

Lutilla Praep. 2, Coord. $\frac{19}{4}, \frac{1}{5}$, $\frac{70}{1}$.

Tábla magyarázat.

I. TÁBLA.

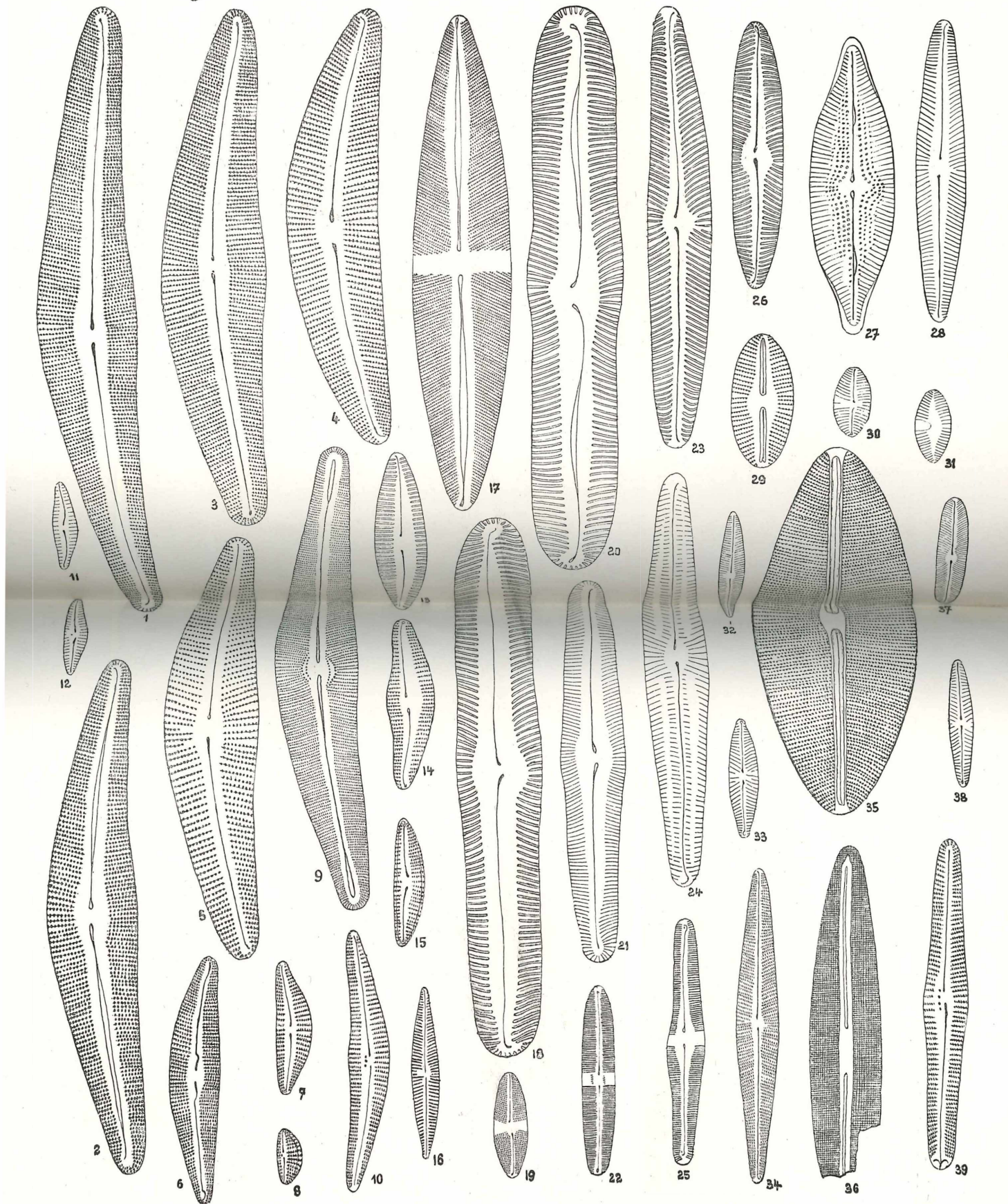
1. ábra. <i>Cymbella Clementis</i> Pant.	600/1
2. » » <i>spectabilis nov. spec.</i>	700/1
3. <i>aspera (E.) Hérib.</i>	700/1
4. <i>aspera var. dubravicensis Grun.</i>	700/1
5. <i>aspera var. remote striata n. v.</i>	700/1
6. <i>inflexa nov. spec.</i>	700/1
7. <i>turgida Greg.</i>	700/1
8. <i>obtusa Pant.</i>	700/1
9. <i>Sturii Grun.</i>	454/1
10. <i>cymbiformis E. var. producta Pant.</i>	700/1
11. <i>alpina Grun. .</i>	866/1
12. <i>alpina var. notata nov. var..</i>	866/1
13. <i>latestriata Pant.</i>	700/1
14. <i>ventricosa nov. spec.</i>	700/1
15. <i>Neupauerii Pant.</i>	700/1
16. <i>Navicula tenella Bréb.</i> .	700/1
17. <i>Stauroneis phoenicenteron E.</i>	700/1
18. <i>Pinnularia major Kg. var. andesitica Pant.</i>	746/1
19. <i>Navicula Roteana (Rb.) Grun. var. staurofora n. v.</i>	866/1
20. <i>Pinnularia major Kg. var. abbreviata nov. var.</i>	700/1
21. » <i>subsolaris Grun.</i> .	700/1
22. <i>Navicula lacunarum. Grun. var. notata nov. var.</i>	700/1
23. » <i>oblonga Kg. var. directa Pant.</i>	700/1
24. <i>Haueri Grun.</i>	700/1
25. » <i>neogena Pant.</i>	700/1
26. <i>Pinnularia viridis E. var. producta nov. var.</i>	700/1
27. <i>Navicula arata Grun.</i>	700/1
28. » <i>vulpina Kg.</i>	700/1
29. <i>Diploneis elliptica (Kg.) Cleve var. minor Grun.</i>	700/1
30. 31. ábra. <i>Achnanthidium lanceolatum Bréb. .</i>	700/1
32. ábra. <i>Navicula amophila Grun.</i>	866/1
33. » » » <i>var. latior. n. var. .</i>	866/1
34. » » <i>dubravicensis Grun.</i>	700/1
35. <i>Diploneis carpathorum Pant. .</i>	700/1
36. <i>Frustulia rhomboides (E.) Cleve var. amphipleuroides Grun.</i>	866/1
37. <i>Navicula pseudobacillum Grun.</i>	700/1
38. <i>Pinnularia pygmaea E.</i>	866/1
39. <i>Gomphonema dubravicensis Pant.</i>	700/1

II. TÁBLA.

40. ábra. <i>Surirella Clementis</i> Grun.	452/1
41. > <i>Eunotia arcus</i> E. .	700/1
42. <i>Cocconeis balatonis</i> Pant. n. spec.	700/1
43. <i>Cocconeis boryana</i> Pant.	866/1
44. ábra. <i>Cocconeis californica</i> Grun. var. <i>hungarica</i> Pant.	700/1
45. > <i>Melosira arenaria</i> Moor. var. <i>hungarica</i> Pant.	700/1
46. <i>Eunotia fossilis</i> nov. spec.	700/1
47. <i>Synedra lanceolata</i> Kg. var. <i>abreviata</i> nov. var.	700/1
48. > <i>Ulna</i> E. var. <i>crassa</i> nov. var..	700/1
49. <i>Surirella gracilis</i> Grun.	700/1
50. 53. ábra. <i>Fragilaria Harrisonii</i> (W. Sm.) Grun. var. <i>amphitethras</i> Grun.	700/1
51. ábra. <i>Melosira arenaria</i> Moor. var. <i>ornata</i> n. var. .	700/1
52. <i>arenaria</i> Moore	700/1
54. > <i>undulata</i> (E.) Kg.	700/1
55. <i>Epithemia cistula</i> (E.) Grun. var. <i>producta</i> nov. var.	700/1
56. var. <i>lunaris</i> Grun.	700/1
57. 58. ábra. <i>Gomphonema dubravicensis</i> Pant. .	700/1
50. 60. <i>intricatum</i> Kg. var. <i>fossilis</i> Pant.	866/1
61. ábra. <i>Gomphonema pinnatum</i> nov. spec. .	866/1
62. > <i>Fragilaria Venter</i> Grun.	700/1
63. <i>Gomphonema subclavatum</i> Grun. var. <i>staurophora</i> n. v.	866/1
64. <i>subclavatum</i> Grun.	700/1
65. 68. ábra. <i>Fragilaria mutabilis</i> (W. Sm.) Grun. var. <i>linearis</i> n. var.	700/1
66. 67. ábra. <i>Fragilaria mutabilis</i> var. <i>ovalis</i> nov. var.	700/1, 866/1
69. ábra. <i>Surirella saxonica</i> Auersw.	700/1
70. 71. ábra. <i>Fragilaria Harrisonii</i> (W. Sm.) Grun. var. <i>fossilis</i> Pant.	700/1
72. 73. ábra. <i>Fragilaria Harrisonii</i> var. <i>lanceolata</i> nov. var.	700/1
74. ábra. <i>Fragilaria Harrisonii</i> var. <i>ovalis</i> nov. var.	866/1
75. <i>Hantzschia dubravicensis</i> Grun.	866/1
76. <i>Nitzschia acutiuscula</i> Grun.	700/1
77. <i>Fragilaria Clevei</i> Pant. var. <i>linearis</i> nov. var. .	866/1
78. 81. ábra. <i>Melosira granulata</i> (E.) Ralfs. var. <i>jeremiae</i> Grun.	700/1
79. ábra. <i>Carnegia mirabilis</i> Pant.	700/1
80. <i>Melosira hokaidoana</i> Pant.	700/1
81. <i>Echinopyxis globula</i> nov. spec.	700/1

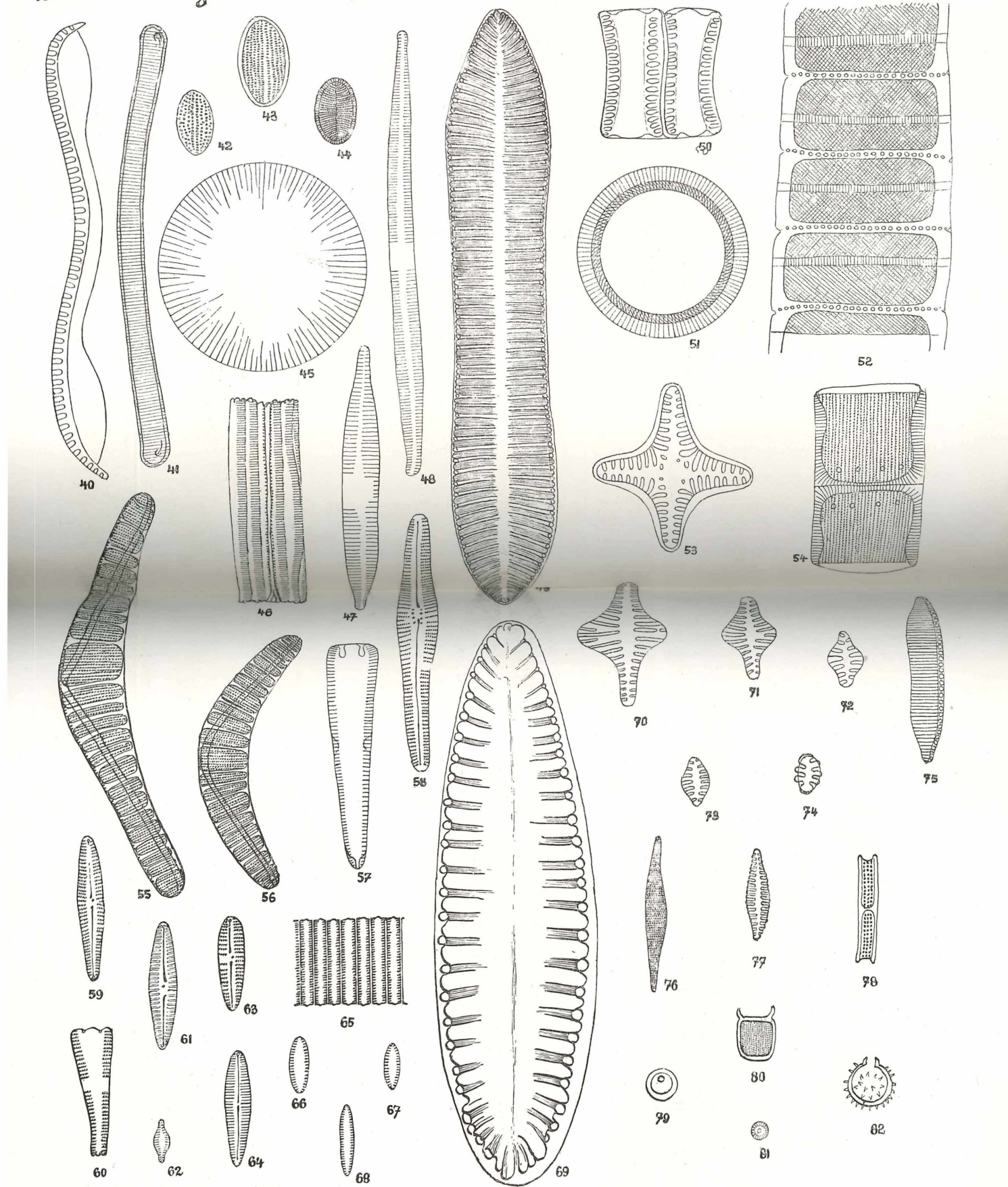
Lutillai ásatag Bacilláriák.

I. tábla.



Lentillai ásatag Bacilláriák.

II. tábla.



ZOBODAT - www.zobodat.at

Zoologisch-Botanische Datenbank/Zoological-Botanical Database

Digitale Literatur/Digital Literature

Zeitschrift/Journal: [Verhandlungen des Vereine für Naturkunde zu Presburg](#)

Jahr/Year: 1913

Band/Volume: [NF_23](#)

Autor(en)/Author(s): Pantocsek Jozef

Artikel/Article: [A lutillai ragpalaban elofordulo Bacillariak vagy Kovamoszatok leirasa 19-35](#)